

I-192 連続曲線桁橋に関する一研究

鳥取大学工学部 正漫 神部俊一
鳥取大学工学部 正員○田中久三

1. まえがき

ねじり率が一様でないがゆえに生ずるせん断変形を、近似的に桁軸方向にのみ考慮することによって得られた曲げねじり理論を用いて、2径間連続の円弧曲線状の箱桁橋について、特にねじり拘束の大きい中間支点近傍における歓面の歓面力に及ぼす、新たに導入された歓面定数 μ による影響と、一方の径間の曲率の反転による影響について検討した。

2. 計算結果

図-1に示す形状の2径間連続曲線桁橋について、単位集中トルクが作用する場合の歓面力の影響線を応力法により求めた。

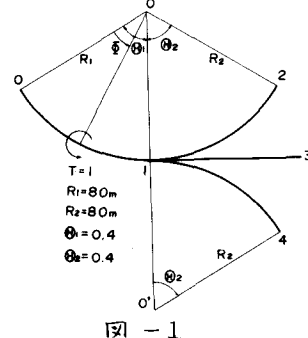
各支点は、曲げに対しては単純支持で、ねじりに対して抵抗する構造を持つものとする。

中間支点上の歓面に作用する曲げねじりモーメント M_w と曲げモーメント M_y とを不静定力とし、横歓面のそり変位の連続条件(スリップの連続条件)と、軸線のたわみ角($d\theta/Rd\theta$)の連続条件とにより、次の M_w, M_y に関する弾性方程式が得られる。

$$\begin{aligned}\delta_{11} M_w + \delta_{12} M_y + \delta_{10} &= 0 \\ \delta_{21} M_w + \delta_{22} M_y + \delta_{20} &= 0\end{aligned}\quad (1)$$

弾性方程式(1)の係数と荷重頂を表-1に示す。一方の径間の曲率が反転する場合には、式に現われる複号の中、下側を採用すればよい。また R を一定にしたまま $R \rightarrow \infty$ とすれば、円弧と直線を結合した形式の桁橋に関する式となる。

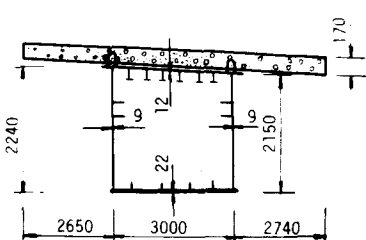
図-2に示す歓面を持つS字形式の2径間連



δ_{11}	$\frac{1}{GJ_1} \frac{1}{R_1} \frac{1}{\theta_1} - \frac{\mu}{K_1} \frac{\cos(\theta_1)}{\sin(\theta_1)} + \frac{1}{GJ_2} \frac{1}{R_2} \frac{1}{\theta_2} - \frac{\mu}{K_2} \frac{\cos(\theta_2)}{\sin(\theta_2)}$
δ_{12}	$\frac{R_1}{GJ_1 R_2} \left[\frac{1}{\sin(\theta_1)} \left(K_1 \mu \frac{\cos(\theta_1)}{\sin(\theta_1)} - \frac{1}{\theta_1} \right) \pm \frac{1}{GJ_1 R_2} \left[\frac{1}{\sin(\theta_1)} \left(K_1 \mu \frac{\cos(\theta_1)}{\sin(\theta_1)} - \frac{1}{\theta_1} \right) + \frac{1}{GJ_2 R_1} \left(K_2 \mu \frac{\cos(\theta_2)}{\sin(\theta_2)} - \frac{1}{\theta_2} \right) \right]$
δ_{22}	$\frac{R_2}{GJ_2 R_1} \left[\frac{1}{\sin(\theta_2)} \left(K_2 \mu \frac{\cos(\theta_2)}{\sin(\theta_2)} - \frac{1}{\theta_2} \right) + \left(K_2^2 + \frac{1}{\theta_2^2} - K_1 \right) \frac{\cos(\theta_2)}{\sin(\theta_2)} \right] + \frac{\alpha_1}{\sin(\theta_1)} \cos(\theta_1) - \frac{\alpha_2}{\sin(\theta_2)} \cos(\theta_2)$
δ_{10}	$- \frac{R_1}{GJ_1} T_1 \frac{\mu^2}{\sin(\theta_1)} \left(\sin(\theta_1) - \frac{\sin(\theta_1 - \theta_2)}{\sin(\theta_2)} \right) - \frac{1}{GJ_1} T_1 \frac{\mu^2}{\sin(\theta_1)} \left[\frac{\sin(\theta_1 - \theta_2)}{\sin(\theta_2)} - \frac{\sin(\theta_1)}{\sin(\theta_2)} \right]$
δ_{20}	$- \frac{R_2}{GJ_2} T_2 \left[\frac{\alpha_2}{\sin(\theta_2)} \left(\sin(\theta_2) - \frac{\sin(\theta_1 - \theta_2)}{\sin(\theta_1)} \right) + \sin(\theta_2 - \theta_1) - (\theta_1 - \theta_2) \cos(\theta_2 - \theta_1) \right] - \frac{R_2}{GJ_2} T_2 \left[\frac{\mu^2}{\sin(\theta_2)} \left(\sin(\theta_2) - \frac{\sin(\theta_1 - \theta_2)}{\sin(\theta_1)} \right) - \frac{\sin(\theta_1 - \theta_2)}{\sin(\theta_2)} \right]$

$$\text{ただし } \mu = R \sqrt{GJ/Ew}, \quad K = \frac{\nu}{1+\nu}, \quad \alpha = \frac{1}{2} (1 - \frac{E}{R^2 \mu^2}) + \frac{T_2}{E (T_2^2 - 3 \mu^2)}$$

表-1



断面2次モーメント	0.332007×10^8
ねじり抵抗	0.19124×10^8
曲げねじり抵抗	0.42769×10^{11}
$\mu = R \sqrt{GJ/Ew}$	0.28682×10^2
総弾性係数	0.21×10^7
せん断弾性係数	0.81×10^6
ν	0.49122

表-2

綱箱形橋を例にとり、中間支点上における断面の断面力 M_w , T_s , T_w の影響線を求めた。なお使用した断面定数は表-2に示すとおりである。

断面定数を考慮した場合としない場合の結果を各々一点鎖線および実線を用いて、図-3, ~図-5に示してある。(影響線はすべて中間支点上の直ぐ右側の断面についてのものである。)

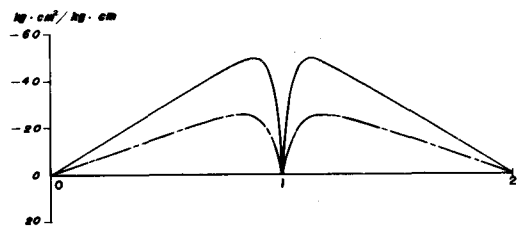


図-3 曲げねじりモーメント M_w

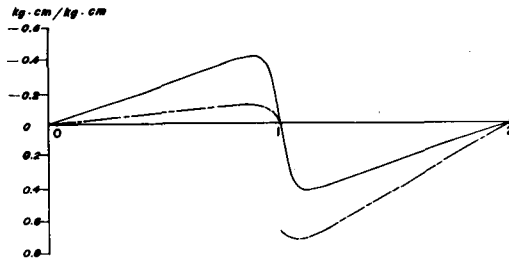


図-4 St.Venant のねじりモーメント T_s

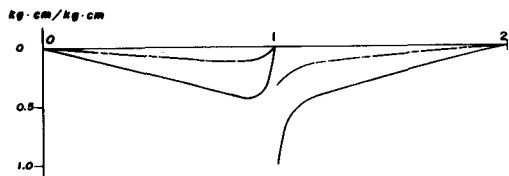


図-5 2次ねじりモーメント T_w

つぎに断面定数を考慮した場合について、曲率の反転の影響を調べるために、曲率が反転しない場合の M_w , T_s , T_w の結果を破線を用いて図-6~図-8に示してある。円弧と直線よりなる箱形橋に関する影響線は図に示してないが、円弧、S字両形式の中間に位置した。

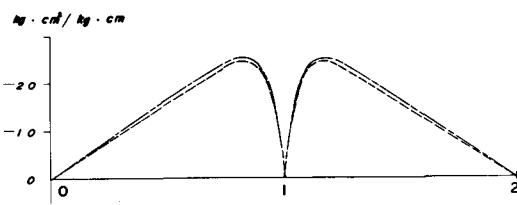


図-6 曲げねじりモーメント M_w

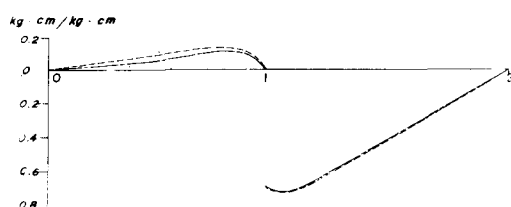


図-7 St.Venant のねじりモーメント T_s

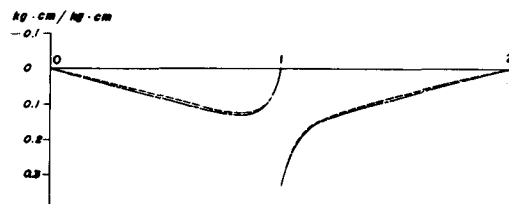


図-8 2次ねじりモーメント T_w

3. 考察

図-3~図-5からねじり拘束の大きい中間支点近傍の断面において、レの断面力に与える影響の著しく大きいことが知れる。また図-6~図-8から反転の影響が少しだけはあるが現われていることが知れる。

参考文献

- 1) 小西, 白石, 神部 ; 円弧曲線桁の曲げねじり理論について 第14回橋梁構造工学発表会
講演集